

٢٥١٨٩

۱۳۷۸ / ۰۱ / ۲۰



دانشگاه فردوسی مشهد
دانشکده علوم - بخش شیمی

پاپان نامه جهت دریافت درجه کارشناسی ارشد شیمی

عنوان:

اندازه‌گیری پارامترهای سینتیکی فعالسازی چرخشی و
انتالپی پیوند هیدروژنی در مشتق استیله - ۳ - آمینو -
۶ - برمو - ۱ و ۲ و ۴ - تری آزین - ۵ - (۴H) - اون

اساتید راهنمای:

دکتر سید جلال شخص امامپور و دکتر مجید هروی

۱۲۸۴۸/۲

نگارش:

بهرام قاسمزاده

۲۵۸۵۹
تابستان ۷۷

بَابِيْ أَنْثُمْ وَأَنْثِي

بِسْمِ اللّٰهِ الرَّحْمٰنِ الرَّحِيْمِ

اللّٰهُمَّ إِنِّيْ مُؤْمِنٌ
بِرَبِّ الْعَالَمِينَ
إِنِّيْ مُسْلِمٌ
عَلَىٰ هُدًىٰ رَبِّيْ

بِسْمِ اللّٰهِ الرَّحْمٰنِ الرَّحِيْمِ
اللّٰهُمَّ إِنِّيْ مُؤْمِنٌ
بِرَبِّ الْعَالَمِينَ

فَمَا أَخْلَى أَسْمَائَكُمْ

تقدیم به:

پدر بزرگوار و مادر عزیزم

که همه موقیتم را مديون آنها بوده و زحمات بی دریغشان را هیستایم

تقدیم به:

خواهران عزیز و مهربانم

که همواره مورد لطف و حمایت بی دریغشان قرار داشته‌ام

تشکر و قدردانی

در اینجا لازم می‌دانم از اساتید محترم راهنما جناب آقای دکتر سید جلال شخص امامپور و جناب آقای دکتر مجید هروی بخاطر نظارت مستمر در اجرای کلیه مراحل پروژه و راهنمایی‌های بی‌دریغ ایشان و رفع مشکلات و محدودیتها کمال تشکر و قدردانی را بعمل آورده و همچنین از اساتید محترم جناب آقای دکتر فریدون میلانی نژاد، جناب آقای دکتر فرامرز طبیاری، جناب آقای دکتر محمد رحیمی‌زاده، جناب آقای دکتر محمدرضا حسین‌دخت، جناب آقای دکتر محمد انتظاری که هر یک به نحوی در کمک و راهنمائی اینجانب کوتاهی ننموده‌اند کمال تشکر و قدردانی داشته و نیز از آقایان جناب پرویز خسروفر و جناب غلامرضا ذبیحی کارشناسان و مسئولان محترم آزمایشگاه شیمی آلی که اینجانب را در این امر کمک و یاری نمودند قدردانی می‌نمایم.

همچنین لازم می‌دانم از زحمات آقای داوودنیا دانشجو دکترا شیمی آلی و دانشجویانی که بنحوی اینجانب را در کار و در حاشیه آن کمک کرده و مجال نام بردن تک تک آنها در اینجا نمی‌باشد تشکر و قدردانی بنمایم.

بسمه تعالیٰ

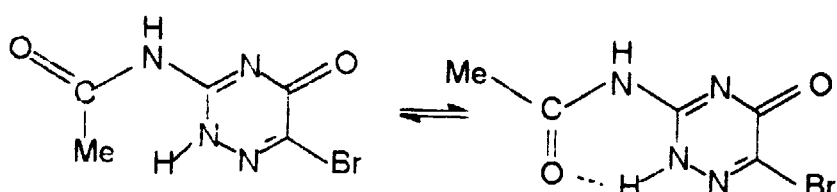
چکیده:

یکی از موارد مهم شیمی ترکیبات هتروسیکل بررسی خواص ترکیبات می‌باشد. بررسی وضعیت تعادلات تاتومری و ایزومری یکی از جنبه‌های این تحقیقات است. تأثیر پارامترهای مختلف همچون دما، PH و حلال بر روی این تعادلات اهمیت خاص دارد و بینش ما را در مورد عوامل مؤثر بر پیوندهای هیدروژنی ملکولهای بیولوژیک نظیر پلی پپتیدها و کربوکسیلیک اسید‌ها، وسعت می‌بخشد.

در این کار، تأثیر دما روی تعادلات ایزومری مشتق استیله ترکیب ۳-آمینو-۴-برمو-۴H-آزین-۵-اون، مورد بررسی قرار گرفت و سد انرژی فعالسازی چرخشی و انرژی پیوند هیدروژنی اندازه‌گیری شد. در این بررسی از روش طیف سنجی NMR و تکنیک دینامیک NMR استفاده گردیده است.

ما طیف‌های ترکیب فوق را در دماهای K, ۲۲۸K, ۲۲۳K, ۲۱۸K, ۲۱۳K, ۲۰۸K, ۲۰۳K و ۲۲۳°K بررسی کردیم.

در ناحیه ۱۱/۵-۱۲/۷ ppm، یک دوشاخه مشاهده می‌شود که مربوط به N-H است. این دوشاخه در پیوند هیدروژنی است. این دوشاخه با افزایش دما به یکدیگر نزدیکتر شده و در انتهای دمای ۲۴۲K بطور کلی بصورت یک پیک تک دیده می‌شود. این پدیده نشانگر تعادلی است که بصورت زیر نشان داده می‌شود.



پیکهای مجازی NH، نشان دهندهٔ دو ایزومر فوق است. سرعت تبدیل این دو ایزومر با افزایش دما، افزایش یافته و بالاخره در دمای هم‌آمیختگی، آنقدر سرعت تبدیل دو ایزومر به یکدیگر زیاد می‌شود که تکنیک NMR قادر به تشخیص هر پیک بطور جداگانه نبوده و یک پیک معادل که مکان آن جائی بین دو پیک اولیه است، بدست می‌دهد. ما از دمای هم‌آمیختگی و واپستگی دمایی جابجایی‌های شیمیائی پیکها نسبت به دما می‌توانیم پارامترهای سینتیکی فعالسازی را برای این تعادل محاسبه کنیم. البته غلظت‌های این دو ایزومر با دما تغییر می‌کند و از این طریق می‌توان ثابت‌های تعادل ترمودینامیکی را در دمایی مختلف بدست آورده و از رسم تغییرات لگاریتم ثابت‌های تعادل ترمودینامیکی بر حسب دما می‌توانیم پارامتر ترمودینامیکی آنتالپی را برای تفاوت پایداری دو ایزومر بدست آوریم. از طرفی می‌دانیم که تفاوت پایداری دو ایزومر در واقع بخار و وجود پیوند هیدروژنی در ایزومر پایدارتر و فقدان پیوند هیدروژنی در ایزومر دیگر است بنابراین پارامتر ترمودینامیکی آنتالپی در واقع بیانگر میزان قدرت پیوند هیدروژنی نیز می‌باشد که به این ترتیب می‌توانیم تخمینی از انرژی پیوند هیدروژنی را نیز براورد کنیم.

فهرست مندرجات

۱	فصل اول: شیمی گروه آمید
۲	۱- مقدمه.....
۲	۲- ساختار مولکولی.....
۷	۳- رزونانس مغناطیس هسته
۸	۴- جایه جایی های شیمیابی.....
۱۴	۵- کنفورماسیون های آمید های استخلاف شده در نیتروژن
۱۴	۶- ارجحیت کنفورمرهای سیس - ترانس در N-الکیل آمیدها
۲۲	۷- پیوند C-N
۲۸	۸- پیوندهای (α) و C-C و N-C
۳۳	فصل دوم: پیوند هیدروژنی
۳۴	۱- پیوند هیدروژنی
۳۴	۲- تثویری پیوند هیدروژنی
۳۷	۳- تابع انرژی پتانسیل پیوند هیدروژنی
۴۰	۴- شرائط هندسی تشکیل پیوند هیدروژنی
۴۲	۵- دسته بندی پیوندهای هیدروژنی

۶-۲ روش‌های مطالعه پیوند هیدروژنی ۴۷
۱-۶-۲ طیف سنجی «ماوراء بنفس» در سیستمهای پیوند هیدروژنی ۴۸
۲-۶-۲ طیف سنجی (IR) در سیستمهای پیوند هیدروژنی ۴۹
۷-۲ روابط تئوری و تجربی در پیوندهای هیدروژنی ۵۲
۸-۲ طیف سنجی (NMR) در سیستمهای پیوند هیدروژنی ۵۴
فصل سوم: دیناھیک NMR ۵۶
۱-۳ مقدمه ۵۷
۲-۳ فرآیندهای سرعت و اصل عدم قطعیت ۵۹
۳-۳ جابجایی شیمیایی و سرعتهای تبادل ۶۰
۴-۳ سرعت‌های تبادل و حفت شدن اسپین ۶۴
۵-۳ ریخت خط (شکل نوار) و سرعتهای تبادل ۶۵
۶-۳ مدل‌های آسایشی و سرعتهای تبادل ۶۸
۷-۳ انرژی فعالسازی ۶۸
۸-۳ معادلات آرنیوس و ایرینگ ۶۹
فصل چهارم: بخش تجربی ۷۵
۱-۴ سنتز ۷۶

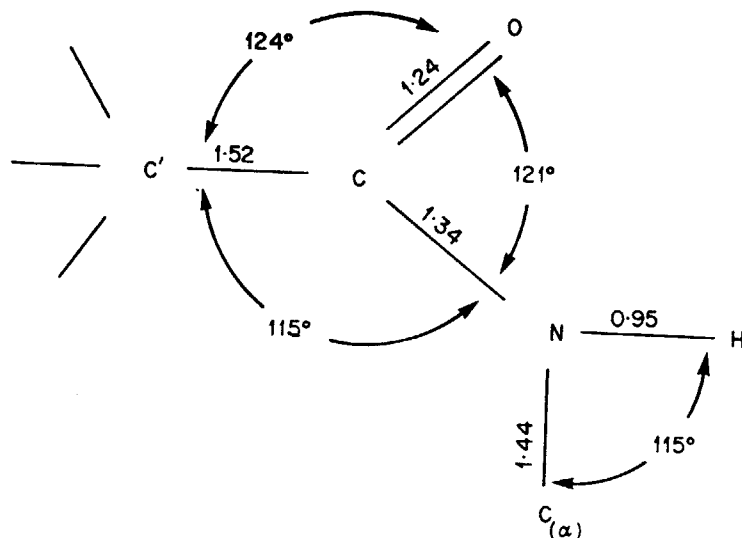
فهرست مطالب

- ب
-
- ۲-۴ برسیهای محاسباتی ۷۷
- ۳-۴ تفسیر نتایج ۸۰
- ۴-۴ ضمیمه ۸۲

فصل اول: شیوه کر و ه آمید

۱-۱- مقدمه:

دانش ما از ساختمانهای دارای گروه آمید از نتایج حاصل از آنالیزهای x-ray، پخش الکترونی و روش‌های اسپکتروسکوپی معمولی مانند UV, Ir, nmr حاصل از محاسبات کوانتومی ab initio بدست آمده است.



شکل ۱: متوسط طول پیوندها و زوایای پیوندی در گروه آمید در حالت گریستالین.

از آنجا که گروه آمید بطور ضعیف در پلی پپتیدها وارد برهمکنش می‌شود، در بسیاری از موارد مانند گروه‌های، ایزوله رفتار می‌کند، بنابراین مطالعه گروه‌های آمیدهای منومر مورد علاقه می‌باشد. بهر حال جنبه پپتیدی آمیدها اخیراً مورد مطالعه قرار گرفته است. [۱-۳]

۱-۲- ساختار مولکولی

آنالیز x-ray از تعداد زیادی از آمیدها، یک ساختار هندسی واضح را برای گروه آمید

بدست می‌دهد. مقادیری که در شکل بالا آمده است، از این طریق محاسبه شده‌اند.

آمیدها در حالت گازی دارای طول پیوند $C=O$ برابر $1/19-1/21\text{ Å}$ و طول پیوند $C-N$ آمیدها در حالت گازی دارای پیوندی $C-C-N$ حدود $113^{\circ}-117^{\circ}$ باشد ترسیمی از طول $1/36\text{ Å}-1/37\text{ Å}$ ، و زوایای پیوندی $C-C-N$ در تعدادی از آمیدها چه در حالت گازی و چه در $C=O$ پیوند بر حسب طول پیوند $N-C$ ، در تعدادی از آمیدها چه در حالت گازی و چه در $C=O$ پیوند $O-C$ بر حسب طول پیوند $N-C$ ، در تعدادی از آمیدها چه در حالت گازی و چه در $C=O$ پیوند $O-C$ بر حسب طول پیوند $N-C$ را دارد.

۱- فرمامید (کریستالین)

۲- سوبرآمید

۳- آئرومایسین

۴- ترانس اکسامید

۵- بنزآمید

۶- دی کتوپیپرازین

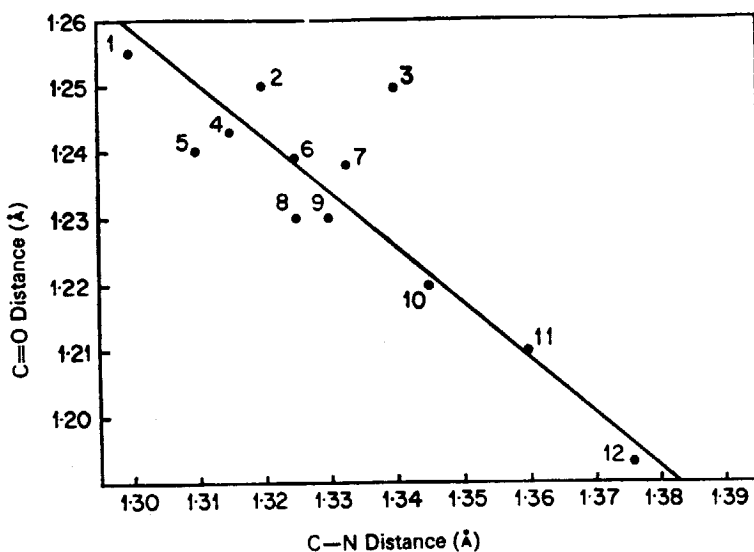
۷- سوکسینامید

۸- N,N,N,N -تترامتیل- α - و α' -دی برمو سوکسینامید

۹- کلرو استامید

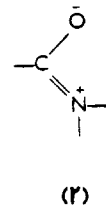
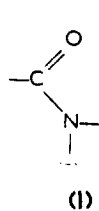
۱۰- استامید (گاز)

۱۱- فرمامید (گاز)



شکل ۲ ترسیم طول پیوند $\text{C}=\text{O}$ در برابر طول پیوند $\text{C}-\text{N}$ در تعدادی از آمیدها

در مطالعات تئوری از گروه آمید فرض می‌شود تمام اتمهای شرکت کرده در ساختار آمید، در یک سطح هستند. عملأطیف‌های ماکروویو از فرمامید در حالت گازی نشان می‌دهند که این مطلب کاملاً صحت ندارد، بدلیل اینکه هیدروژن‌های NH_2 حدود ۰/۱۵ Å خارج از صفحه $\text{N}-\text{C}-\text{O}$ هستند [۴]. چنین به نظر می‌رسد که ساختمان π دیکتوپیرازین شبیه به حالت آنلین باشد، در نتیجه پیش بینی می‌شود که پیوند $\text{C}-\text{O}$ الکترونی آمید دارای هیبریداسیون SP^2 بوده و اتم نیتروژن یک ساختمان کتزوگه مسطح داشته باشد. در واقع پی برده شده که هیبریداسیون بین $\text{SP}^3 - \text{SP}^2$ می‌باشد و بخش آمیدی 26° خارج از صفحه حلقه فنیل چرخیده است. ارتباط بین طول پیوندهای $\text{C}-\text{N}$ و $\text{C}=\text{O}$ بوسیله مشارکت در ساختمانهای پیوند والانس‌های (۱) و (۲)، توضیح داده می‌شود.



با افزایش مقدار ساختمان شماره (۲)، طول پیوند کوتاهتر را برای C-N و طول پیوند بلندتر را برای C=O خواهیم داشت. در واقع در فرمامید طول پیوند C-N حدود $1/37\text{A}$ حد فاصل بین پیوند یکان N-C=O و دوگان C=N $1/24\text{A}$ است. بهر حال این بحث سطحی به نظر می‌رسد، چون که طول پیوند C=O حدود $1/19\text{A}$ بوده و درست همان مقداری است که برای پیوند دوگان N-C=O انتظار می‌رود و این باعث می‌شود که مانتوانیم یک توضیح ساده از ارتباط داده شده در شکل (۲) را ارائه دهیم. در تأیید وجود ساختمان (۲) [۵]، حضور مقادیر قابل اندازه گیری از دیبل مانهای آمیدها را گزارش دادند. بطور مثال دیبل مان $2/82\text{D}$ را برای N-متیل فرمامید، $3/80\text{D}$ را برای N-N-دی متیل استامید و $2/59\text{D}$ را برای N-متیل پروپانامید به روش میکروویو در دمای 110°C محاسبه کردند. جنبه دیگر آمیدها امکان ایزومری هندسی در حول پیوند C-N، C-C، می‌باشد که به این موضوع در بخش بعد اشاره شده است. [۶]

جدول (۱): ساختار ملکولی و الکترونی گروه آمید

1. Molecular and electronic structure of the amide group

Entry no.	Compound	Solvent	$J_{1\text{H}-1\text{H}}^a$	$J_{15\text{N}-1\text{H}}$	Ref.
1		neat	$^1\text{H}_{(1)}-^1\text{H}_{(2)}, +2.1$ $^1\text{H}_{(1)}-^1\text{H}_{(3)}, +13.3$ $^1\text{H}_{(2)}-^1\text{H}_{(3)}, +2.1$	$^{15}\text{N}-^1\text{H}_{(1)}, -19.0$ $^{15}\text{N}-^1\text{H}_{(2)}, -91.9$ $^{15}\text{N}-^1\text{H}_{(3)}, -95.4$	27
2		H_2O	$^1\text{H}_{(1)}-^1\text{H}_{(2)}, <0.2$ $^1\text{H}_{(1)}-^1\text{H}_{(3)}, <0.2$ $^1\text{H}_{(2)}-^1\text{H}_{(3)}, 2.4$	$^{15}\text{N}-^1\text{H}_{(2)}, -89$ $^{15}\text{N}-^1\text{H}_{(3)}, -89$	28 29 30
3a		neat H_2SO_4	$^1\text{H}_{(2)}-^1\text{H}_{(1)}, 4.5$ $^1\text{H}_{(1)}-^1\text{H}_{(3)}, 0.9$		31
3b		neat H_2O H_2SO_4	$^1\text{H}_{(1)}-^1\text{H}_{(2)}, +1.8$ $^1\text{H}_{(1)}-^1\text{H}_{(3)}, -0.9$ $^1\text{H}_{(2)}-^1\text{H}_{(3)}, +5.0$ $^1\text{H}_{(1)}-^1\text{H}_{(2)}, 2.3$ $^1\text{H}_{(1)}-^1\text{H}_{(3)}, 0.8$ $^1\text{H}_{(2)}-^1\text{H}_{(3)}, 5.0$ $^1\text{H}_{(1)}-^1\text{H}_{(2)}, 5.0$ $^1\text{H}_{(1)}-^1\text{H}_{(3)}, 1.3$ $^1\text{H}_{(2)}-^1\text{H}_{(3)}, 5.6$	$^{15}\text{N}-^1\text{H}_{(1)}, -14.1$ $^{15}\text{N}-^1\text{H}_{(2)}, -93.6$ $^{15}\text{N}-^1\text{H}_{(3)}, +1.4$	31, 32 28, 30-32 31